



## LECTURE-4 (4th problem of functional vegetology)

MAKATS V.G.

### "ACUPUNCTURE CHANNELS" AS A REAL NEWS CHZHEN-TSZYU THERAPY AND FUNCTIONAL VEGETOLOGY.

Expert of the highest level of the National Academy of Sciences of Ukraine,  
Doctor of Medical Sciences, Professor (European Center for Postgraduate Education,  
PA "Ukrainian National Academy of Natural Sciences").

A fundamental problem that has remained an unsolved Eastern mystery for many centuries. Suffice it to recall that at the request of the scientists of the Loma Linda University (who lived in China and have studied this topic in our time) to show them the meridians on the human body, the reaction of the astonished Chinese Teachers was unequivocal:

*"How can we do this? After all, "acupuncture channels" are conditional lines (meridians), along which certain groups of points for acupuncture, acupressure and temperature exposure are topographically located?"...*

However, today the situation has changed radically. In Ukraine, a methodology has been developed that made it possible to identify the mysterious "acupuncture channels", to prove their biophysical reality, vegetative orientation and theoretical errors of traditional Chen-tszyu therapy...

#### 4.1. METHODOLOGY OF OPENING "ACUPUNCTURE CHANNELS".

Legends about "acupuncture channels" have divided the therapeutic philosophy of East and West for centuries, today they are no longer a mystery!

The methodology for their identification based on functional autonomic diagnostics (FVD) proved the biophysical reality of the "mysterious channels" and discovered the previously unknown "Functional autonomic system of man". Before identifying the "channels", let us recall their French (FN) and international (IAN) classification according to the WHO nomenclature ( $\pm$ ).

Traditional channel	IAN *	FN	Traditional channel	IAN *	FN
Lungs	LU	P	Urinary bladder	BL	V
Large intestine	LI	GI	Kidney	KI	R
Stomach	ST	E	Pericardium	PC	MC
Spleen – Pancreas	SP	RP	Triple energizer	TE	TR
Heart	HT	C	Gall bladder	GB	VB
Small intestine	SI	IG	Liver	LR	F

**Example-1.** To understand the methodology of "Identification of acupuncture channels", let us consider the results of 23 FVD (according to the method of V.G. Makats). The sequence of their location (Table 4.1, Fig. 4.1) is shown in the order of diagnostics performed. Therefore, the activity of the selected BL channel is chaotic ( $\pm$ )

and is accompanied by the corresponding activity of the dependent "acupuncture channels".

Table 4.1  
Ordered by the order of the FVD performed (chaotic in the  $\pm$ BL activity).

<b>№</b>	<b><math>\pm</math>BL</b>	<b>GB</b>	<b>ST</b>	<b>SP</b>	<b>LR</b>	<b>KI</b>	<b>SI</b>	<b>TE</b>	<b>LI</b>	<b>LU</b>	<b>PC</b>	<b>HT</b>
1	<b>-6,42</b>	-0,13	-0,12	-2,48	0,23	0,46	0,70	1,86	1,71	1,78	1,39	1,22
2	<b>5,48</b>	-0,64	-1,01	4,17	-0,99	-0,30	-1,32	-1,95	-1,79	-0,74	-0,38	-0,36
3	<b>-0,50</b>	-0,02	0,00	-0,34	0,11	0,47	-0,09	-0,19	-0,10	0,31	0,35	0,32
4	<b>0,39</b>	-0,20	-0,06	0,43	-0,03	0,57	-0,26	-0,76	-0,53	0,14	0,16	0,22
5	<b>-8,32</b>	-0,94	0,82	-2,61	0,35	-0,70	1,38	3,24	1,70	1,83	1,98	1,37
6	<b>6,53</b>	-0,69	-1,24	4,03	-0,95	-0,21	-1,48	-2,23	-2,18	-0,80	-0,28	-0,34
7	<b>-1,47</b>	0,09	0,15	-0,83	0,19	0,61	-0,14	0,17	0,11	0,48	0,50	0,43
8	<b>9,47</b>	-0,82	-1,75	6,80	-1,69	-0,13	-2,65	-2,77	-2,71	-1,62	-0,92	-0,95
9	<b>-3,46</b>	0,15	0,14	-1,83	0,27	0,70	0,14	0,83	0,81	0,95	0,79	0,79
10	<b>8,45</b>	-0,57	-1,36	5,38	-1,33	-0,40	-1,85	-2,49	-2,16	-1,45	-0,97	-1,00
11	<b>-7,34</b>	-0,62	-0,47	-3,64	-0,55	-0,20	1,45	3,43	2,95	2,20	1,59	1,44
12	<b>1,49</b>	-0,28	-0,37	1,16	-0,27	0,23	-0,38	-0,93	-0,67	-0,01	0,05	0,07
13	<b>-4,45</b>	0,23	0,13	-2,30	0,39	0,44	0,28	1,55	1,26	1,39	0,80	0,62
14	<b>15,5</b>	-1,67	-2,56	9,21	-2,63	-1,48	-1,73	-3,48	-3,34	-2,78	-2,32	-2,48
15	<b>-2,49</b>	0,10	0,01	-1,43	0,23	0,52	0,03	0,70	0,54	0,73	0,66	0,60
16	<b>10,5</b>	-1,40	-1,22	6,44	-1,38	-0,24	-2,41	-2,77	-2,85	-1,25	-1,39	-1,81
17	<b>-9,33</b>	0,75	0,21	-0,92	0,85	-1,86	2,74	1,60	1,65	2,02	0,98	1,62
18	<b>2,46</b>	-0,43	-0,57	1,68	-0,58	0,06	-0,36	-1,27	-0,96	0,02	0,05	0,03
19	<b>-10,0</b>	2,91	3,85	-0,67	-1,69	-2,89	-3,46	4,87	7,42	-6,08	7,81	-1,63
20	<b>-5,44</b>	0,02	-0,03	-2,63	0,30	0,82	0,38	1,39	1,37	1,75	1,45	0,88
21	<b>3,45</b>	-0,50	-0,52	2,23	-0,50	0,18	-0,60	-1,65	-1,33	-0,31	-0,20	-0,12
22	<b>7,48</b>	-1,00	-1,11	5,10	-1,22	-0,28	-1,87	-2,34	-2,07	-1,12	-0,75	-0,63
23	<b>4,47</b>	-0,68	-0,93	3,12	-0,71	-0,15	-0,86	-1,81	-1,54	-0,43	-0,18	-0,12

Figure 4.1. In this situation, identification of acupuncture channels is impossible.

It became clear that the fundamental moment of "identification of systemic dependence" will be the vertical ordering of the  $\pm$ BL activity (by excitement, or oppression), which determines the corresponding horizontal arrangement of dependent systemic series. Here are some examples of using the developed methodology...

**Example-2.** Based on the basic table 4.1, the "acupuncture channel" BL, we will put in order as its activity increases and for the first time in modern history we will receive irrefutable evidence of the biophysical reality of systemic dependence (Table 4.2., Fig.4.2)!

The question arises about the reality of intersystem dependence and the possibility of its further identification...

Table 4.2  
Ordered by the growth of acupuncture channel activity BL

<b>№</b>	<b><math>\pm</math>BL</b>	<b>GB</b>	<b>ST</b>	<b>SP</b>	<b>LR</b>	<b>KI</b>	<b>SI</b>	<b>TE</b>	<b>LI</b>	<b>LU</b>	<b>PC</b>	<b>HT</b>
19	<b>-10,0</b>	2,91	3,85	-0,67	-1,69	-2,89	-3,46	4,87	7,42	-6,08	7,81	-10,0
17	<b>-9,33</b>	0,75	0,21	-0,92	0,85	-1,86	2,74	1,60	1,65	2,02	1,98	-9,33
5	<b>-8,32</b>	-0,94	0,82	-2,61	0,35	-0,70	1,38	3,24	1,70	1,83	1,59	-8,32
11	<b>-7,34</b>	-0,62	-0,47	-3,64	-0,55	-0,20	1,45	3,43	2,95	2,20	1,45	-7,34
1	<b>-6,42</b>	-0,13	-0,12	-2,48	0,23	0,46	0,70	1,86	1,71	1,78	1,39	-6,42

20	<b>-5,44</b>	0,02	-0,03	-2,63	0,30	0,82	0,38	1,39	1,37	1,75	0,98	-5,44
13	<b>-4,45</b>	0,23	0,13	-2,30	0,39	0,44	0,28	1,55	1,26	1,39	0,8	-4,45
9	<b>-3,46</b>	0,15	0,14	-1,83	0,27	0,70	0,14	0,83	0,81	0,95	0,79	-3,46
15	<b>-2,49</b>	0,10	0,01	-1,43	0,23	0,52	0,03	0,70	0,54	0,73	0,66	-2,49
7	<b>-1,47</b>	0,09	0,15	-0,83	0,19	0,61	-0,14	0,17	0,11	0,48	0,5	-1,47
3	<b>-0,50</b>	-0,02	0,00	-0,34	0,11	0,47	-0,09	-0,19	-0,10	0,31	0,35	-0,50
4	<b>0,39</b>	-0,20	-0,06	0,43	-0,03	0,57	-0,26	-0,76	-0,53	0,14	0,16	0,39
12	<b>1,49</b>	-0,28	-0,37	1,16	-0,27	0,23	-0,38	-0,93	-0,67	-0,01	0,05	1,49
18	<b>2,46</b>	-0,43	-0,57	1,68	-0,58	0,06	-0,36	-1,27	-0,96	0,02	0,05	2,46
21	<b>3,45</b>	-0,50	-0,52	2,23	-0,50	0,18	-0,60	-1,65	-1,33	-0,31	-0,18	3,45
23	<b>4,47</b>	-0,68	-0,93	3,12	-0,71	-0,15	-0,86	-1,81	-1,54	-0,43	-0,2	4,47
2	<b>5,48</b>	-0,64	-1,01	4,17	-0,99	-0,30	-1,32	-1,95	-1,79	-0,74	-0,28	5,48
6	<b>6,53</b>	-0,69	-1,24	4,03	-0,95	-0,21	-1,48	-2,23	-2,18	-0,80	-0,38	6,53
22	<b>7,48</b>	-1,00	-1,11	5,10	-1,22	-0,28	-1,87	-2,34	-2,07	-1,12	-0,75	7,48
10	<b>8,45</b>	-0,57	-1,36	5,38	-1,33	-0,40	-1,85	-2,49	-2,16	-1,45	-0,92	8,45
8	<b>9,47</b>	-0,82	-1,75	6,80	-1,69	-0,13	-2,65	-2,77	-2,71	-1,62	-0,97	9,47
16	<b>10,5</b>	-1,40	-1,22	6,44	-1,38	-0,24	-2,41	-2,77	-2,85	-1,25	-1,39	10,5
14	<b>15,5</b>	-1,67	-2,56	9,21	-2,63	-1,48	-1,73	-3,48	-3,34	-2,78	-2,32	-2,48

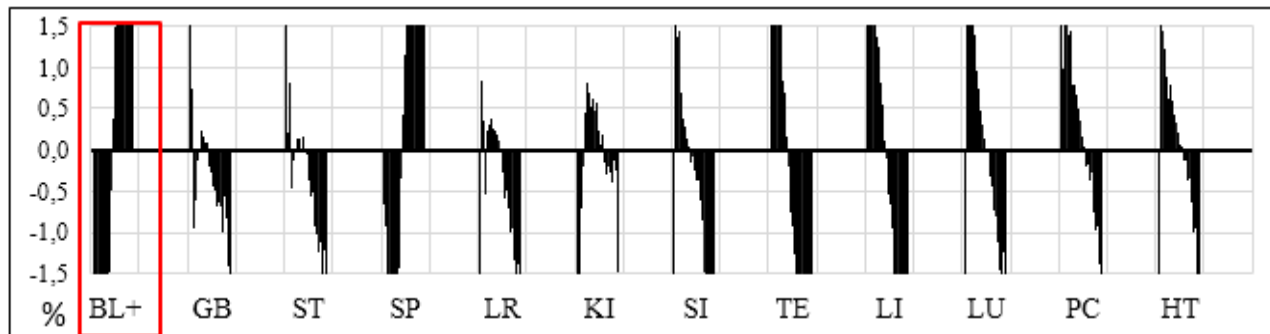


Fig.4.2 Identification of "channels" with ordered +BL is possible!

The question arises about the reality of the identification of systemic dependence in the case of ordered suppression of the BL?

**Example-3.** On the basis of the basic table 4.1, let us put in order the "acupuncture channel" BL as its activity is inhibited (Table 4.3), which will determine the horizontal arrangement of the correspondingly dependent system series and the systemic "identification of acupuncture channels" (Figure 4.3)!

Table 4.3  
Results are ordered by channel inhibition –BL.

№	<b>-BL</b>	<b>GB</b>	<b>ST</b>	<b>SP</b>	<b>LR</b>	<b>KI</b>	<b>SI</b>	<b>TE</b>	<b>LI</b>	<b>LU</b>	<b>PC</b>	<b>HT</b>
14	<b>15,5</b>	-1,67	-2,56	9,21	-2,63	-1,48	-1,73	-3,48	-3,34	-2,78	-2,32	-2,48
16	<b>10,5</b>	-1,40	-1,22	6,44	-1,38	-0,24	-2,41	-2,77	-2,85	-1,25	-1,39	-1,81
8	<b>9,47</b>	-0,82	-1,75	6,80	-1,69	-0,13	-2,65	-2,77	-2,71	-1,62	-0,92	-0,95
10	<b>8,45</b>	-0,57	-1,36	5,38	-1,33	-0,40	-1,85	-2,49	-2,16	-1,45	-0,97	-1,00
22	<b>7,48</b>	-1,00	-1,11	5,10	-1,22	-0,28	-1,87	-2,34	-2,07	-1,12	-0,75	-0,63
6	<b>6,53</b>	-0,69	-1,24	4,03	-0,95	-0,21	-1,48	-2,23	-2,18	-0,80	-0,28	-0,34
2	<b>5,48</b>	-0,64	-1,01	4,17	-0,99	-0,30	-1,32	-1,95	-1,79	-0,74	-0,38	-0,36
23	<b>4,47</b>	-0,68	-0,93	3,12	-0,71	-0,15	-0,86	-1,81	-1,54	-0,43	-0,18	-0,12
21	<b>3,45</b>	-0,50	-0,52	2,23	-0,50	0,18	-0,60	-1,65	-1,33	-0,31	-0,20	-0,12
18	<b>2,46</b>	-0,43	-0,57	1,68	-0,58	0,06	-0,36	-1,27	-0,96	0,02	0,05	0,03
12	<b>1,49</b>	-0,28	-0,37	1,16	-0,27	0,23	-0,38	-0,93	-0,67	-0,01	0,05	0,07

4	<b>0,39</b>	-0,20	-0,06	0,43	-0,03	0,57	-0,26	-0,76	-0,53	0,14	0,16	0,22
3	<b>-0,50</b>	-0,02	0,00	-0,34	0,11	0,47	-0,09	-0,19	-0,10	0,31	0,35	0,32
7	<b>-1,47</b>	0,09	0,15	-0,83	0,19	0,61	-0,14	0,17	0,11	0,48	0,50	0,43
15	<b>-2,49</b>	0,10	0,01	-1,43	0,23	0,52	0,03	0,70	0,54	0,73	0,66	0,60
9	<b>-3,46</b>	0,15	0,14	-1,83	0,27	0,70	0,14	0,83	0,81	0,95	0,79	0,79
13	<b>-4,45</b>	0,23	0,13	-2,30	0,39	0,44	0,28	1,55	1,26	1,39	0,80	0,62
20	<b>-5,44</b>	0,02	-0,03	-2,63	0,30	0,82	0,38	1,39	1,37	1,75	1,45	0,88
1	<b>-6,42</b>	-0,13	-0,12	-2,48	0,23	0,46	0,70	1,86	1,71	1,78	1,39	1,22
11	<b>-7,34</b>	-0,62	-0,47	-3,64	-0,55	-0,20	1,45	3,43	2,95	2,20	1,59	1,44
5	<b>-8,32</b>	-0,94	0,82	-2,61	0,35	-0,70	1,38	3,24	1,70	1,83	1,98	1,37
17	<b>-9,33</b>	0,75	0,21	-0,92	0,85	-1,86	2,74	1,60	1,65	2,02	0,98	1,62
19	<b>-10,0</b>	2,91	3,85	-0,67	-1,69	-2,89	-3,46	4,87	7,42	-6,08	7,81	-1,63

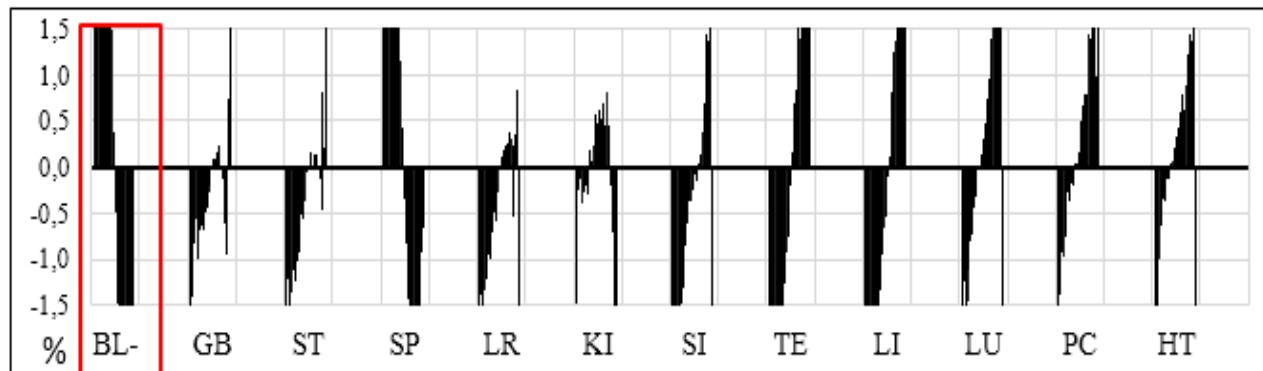


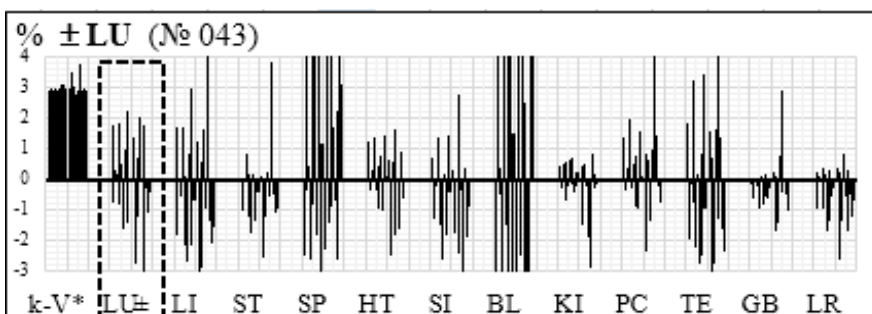
Fig.4.3 Identification of "channels" with ordered –BL is possible!

But let us, on the basis of basic tables 4.1-3, consider three variants of their biophysical reality using examples of disordered activity ( $\pm$ ), excitation (+) and oppression (-) of separate traditional "acupuncture channels", Fig.4.1(1-12). In doing so, pay special attention to the following! The identification of the biophysical reality of "acupuncture channels" was carried out in groups with the initial "vegetative balance" (vegetative balance coefficients within  $kV=0.95-1.05$ ; 14.304 observations)...

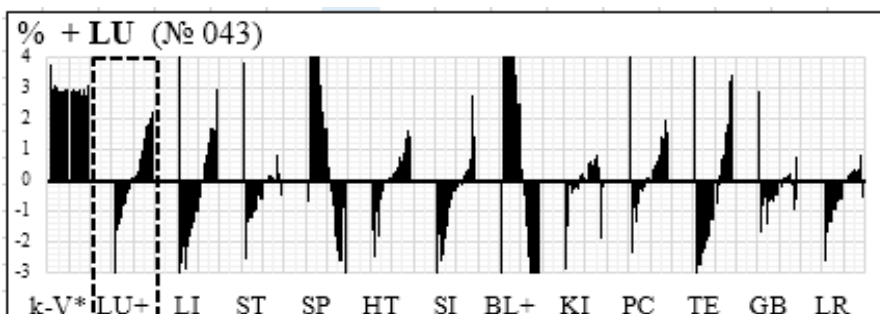
#### 4.2. BIOPHYSICAL REALITY HYPOTHETICAL "ACUPUNCTURE CHANNELS "(IN CONDITIONS OF VEGETATIVE BALANCE)...

Under conditions of vegetative equilibrium (at  $kV=0.95-1.05$ ), the biophysical reality of "acupuncture channels" and their systemic interdependence is beyond doubt. The systemic multidirectional activity of biophysical transformations unambiguously indicates their dependence on the positive (+) and negative (-) activity of individual functional systems and does not require additional evidence...

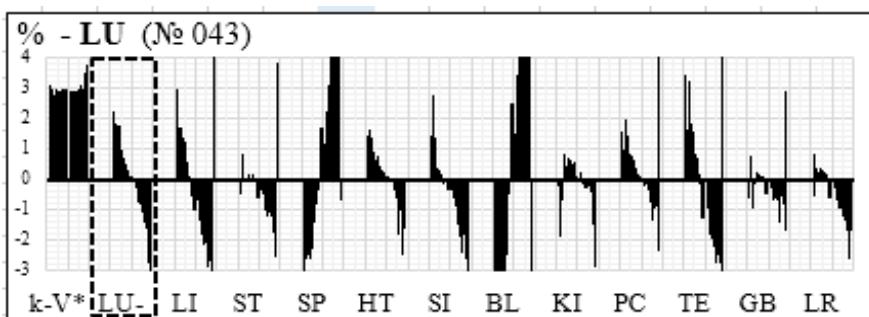
##### System identification of channels under conditions $\pm LU$ , fig.4.2.1



Identification of  
systemic dependency  
 $\pm LU$  is not possible

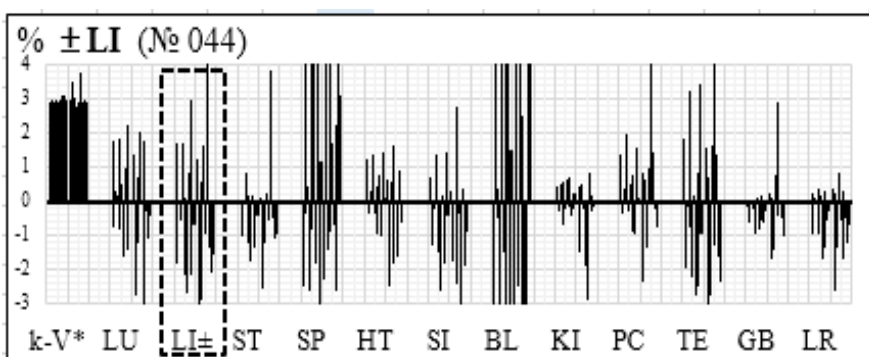


Identification of  
systemic dependency  
+LU

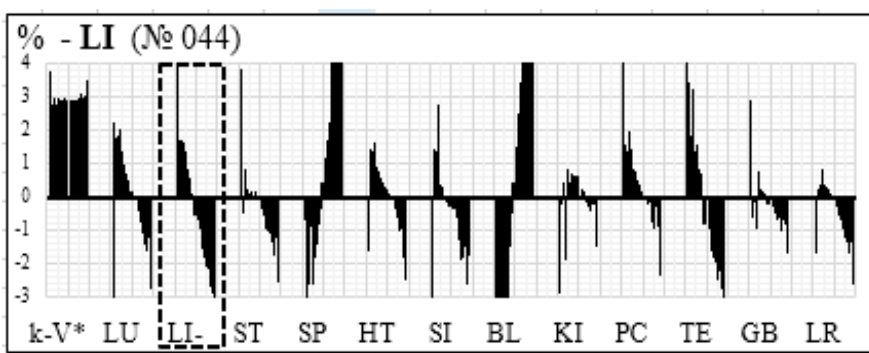


Identification of  
systemic dependency  
-LU

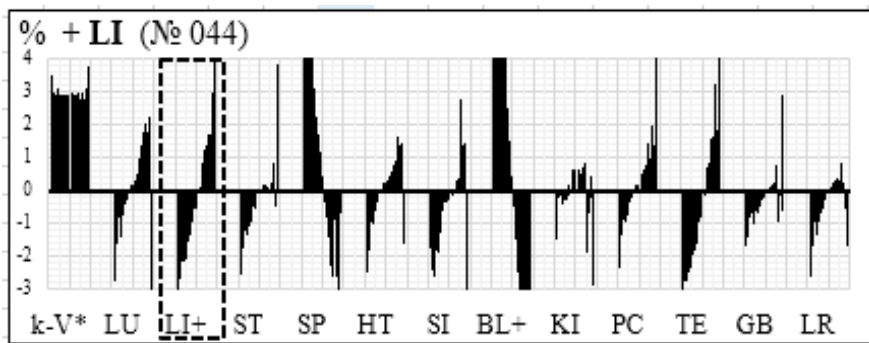
#### System identification of channels under conditions $\pm$ LI, fig. 4.2.2



Identification of  
systemic dependency  
 $\pm$  LI is not possible

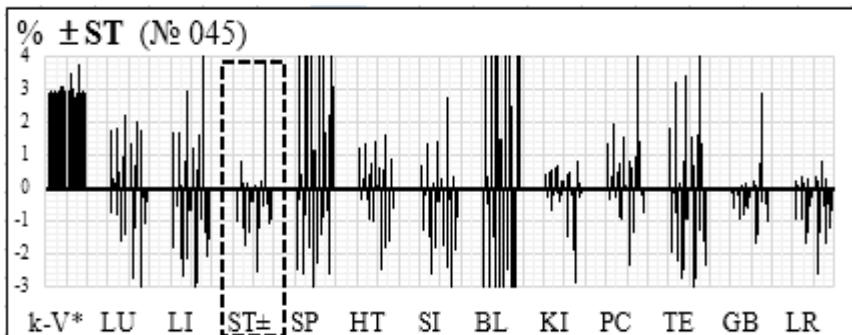


Identification of  
systemic dependency  
-LI

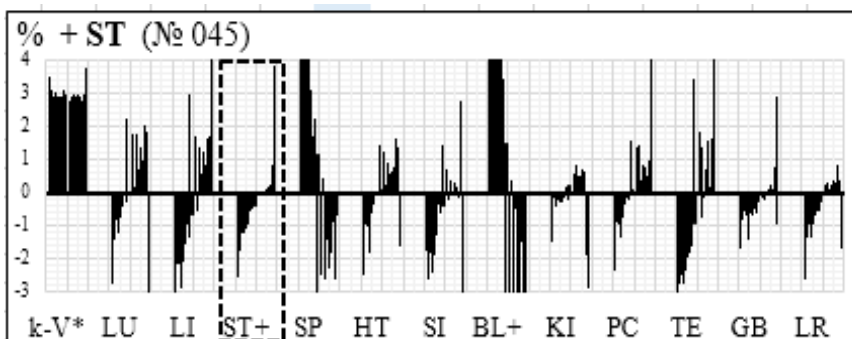


Identification of  
systemic dependency  
+LI

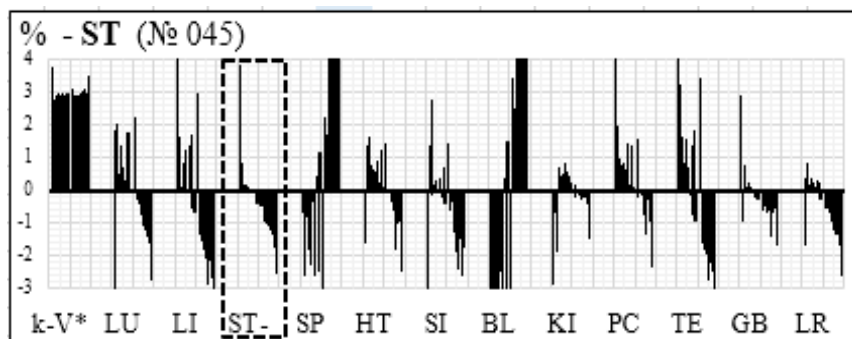
#### System identification of channels under conditions $\pm$ ST, fig. 4.2.3



Identification of  
systemic dependency  
 **$\pm ST$  is not possible**

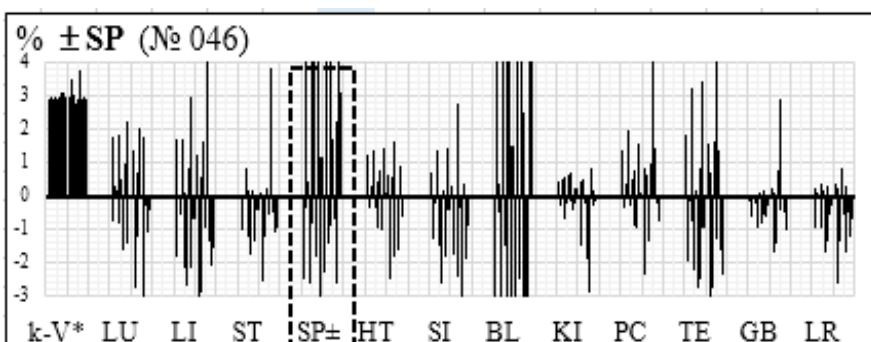


Identification of  
systemic dependency  
**+ST**

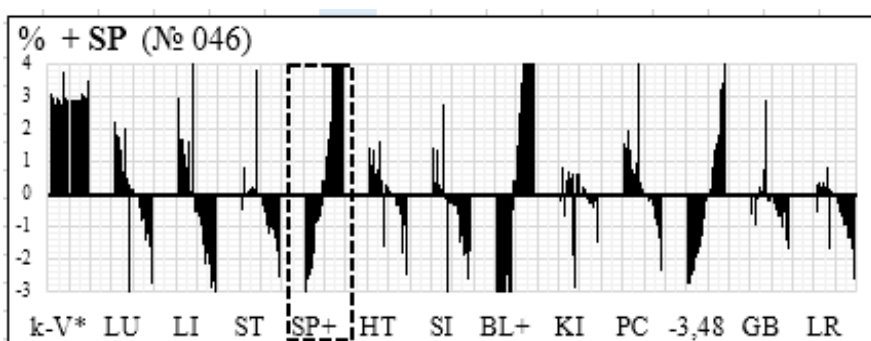


Identification of  
systemic dependency  
**-ST**

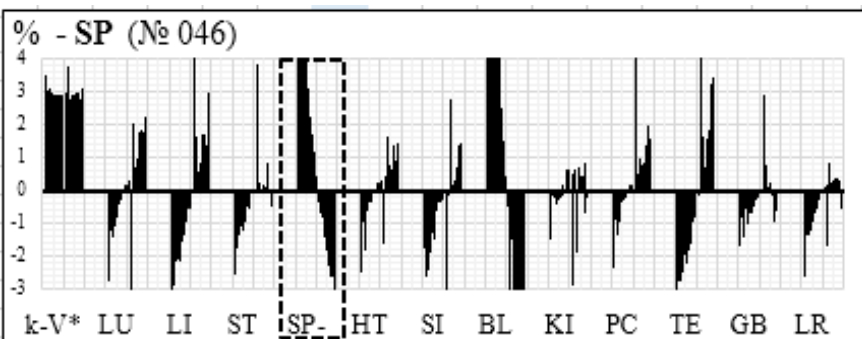
#### System identification of channels under conditions $\pm SP$ , fig. 4.2.4



Identification of  
systemic dependency  
 **$\pm SP$  is not possible**

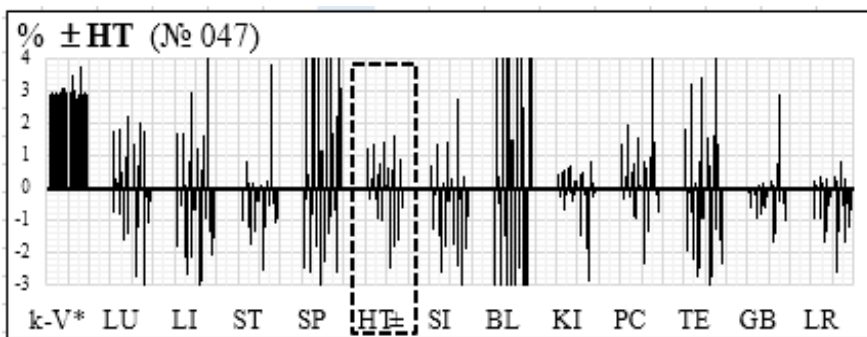


Identification of  
systemic dependency  
**+SP**

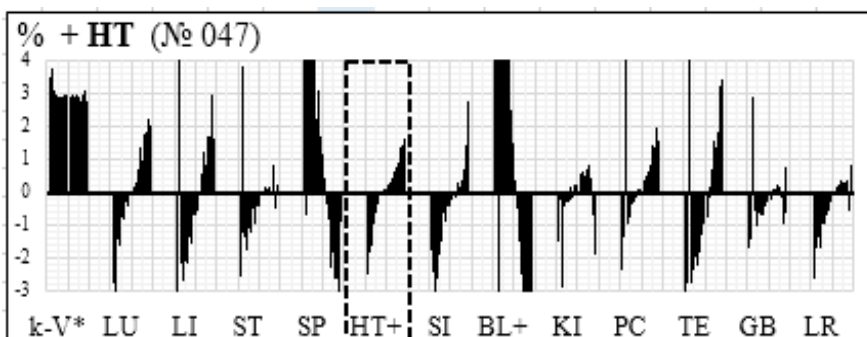


Identification of  
systemic dependency  
**-SP**

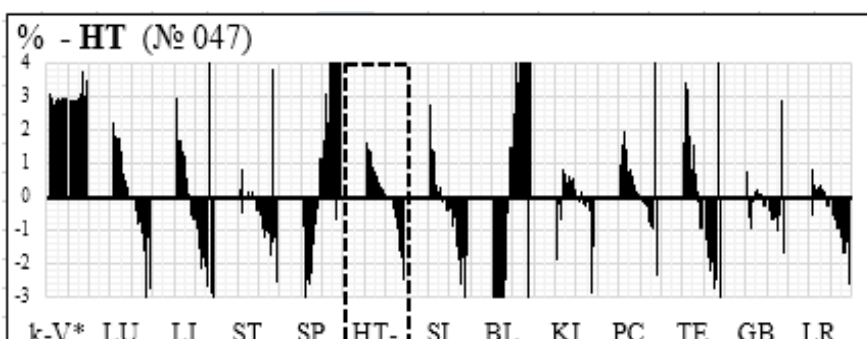
System identification of channels under conditions  $\pm$  HT, fig. 4.2.5



Identification of  
systemic dependency  
 **$\pm$  HT is not possible**

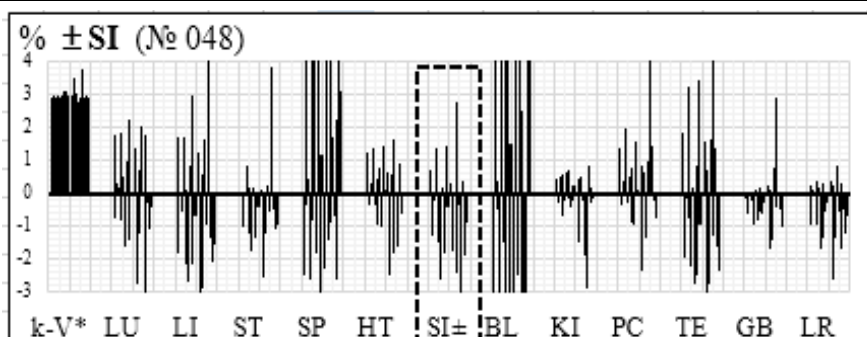


Identification of  
systemic dependency  
**+HT**

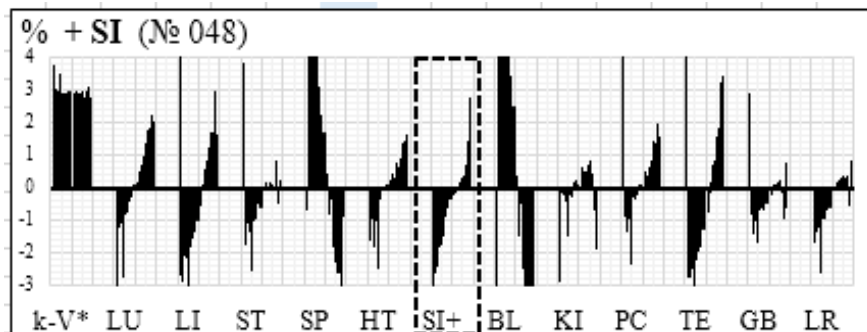


Identification of  
systemic dependency  
**-HT**

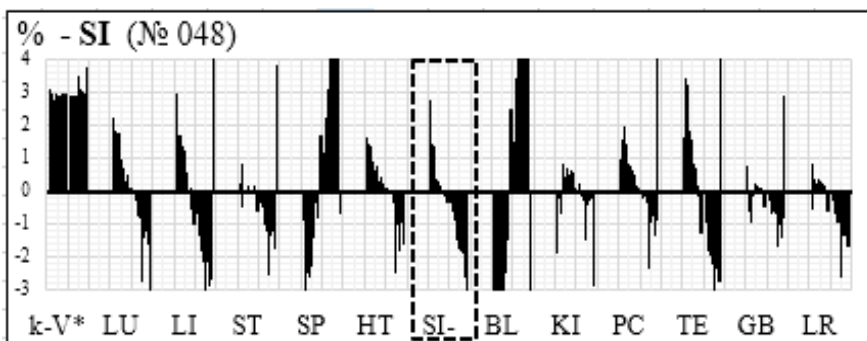
System identification of channels under conditions  $\pm$  SI, fig. 4.2.6



Identification of  
systemic dependency  
 **$\pm$  SI is not possible**

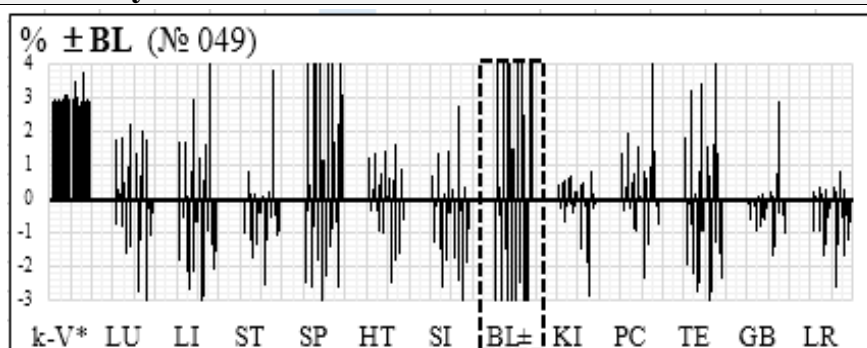


Identification of  
systemic dependency  
**+SI**

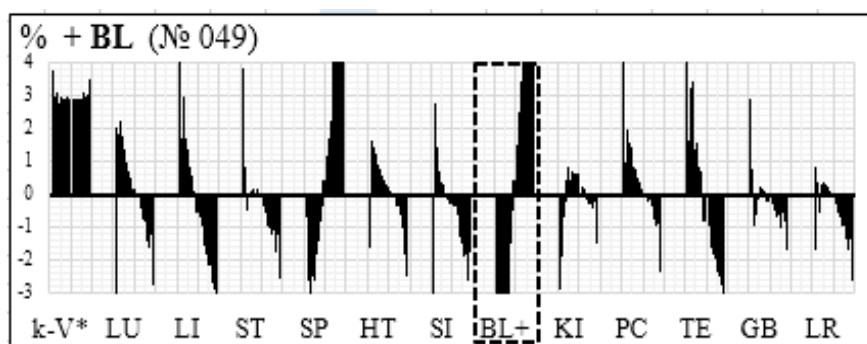


Identification of  
systemic dependency  
**-SI**

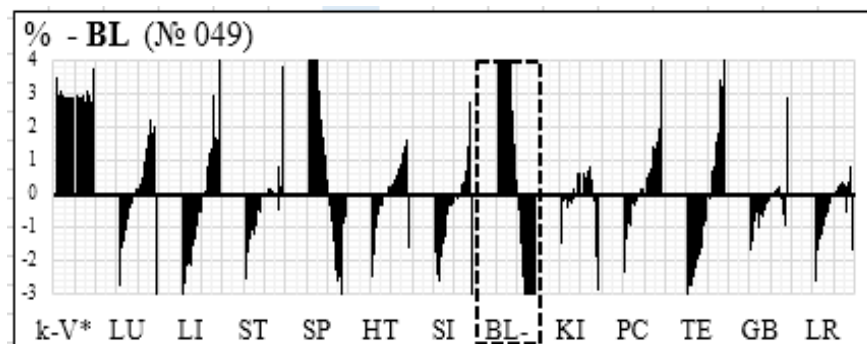
#### System identification of channels under conditions $\pm$ BL, fig. 4.2.7



Identification of  
systemic dependency  $\pm$   
**BL is not possible**

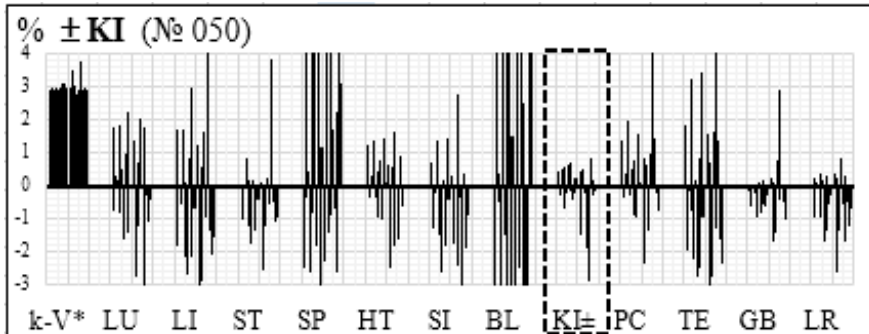


Identification of  
systemic dependency  
**+BL**

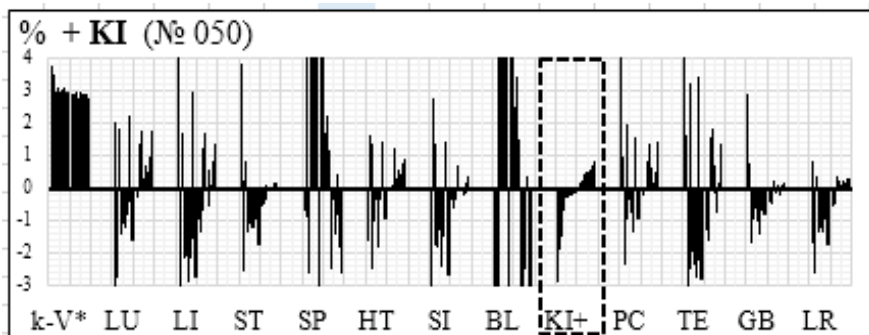


Identification of  
systemic dependency  
**-BL**

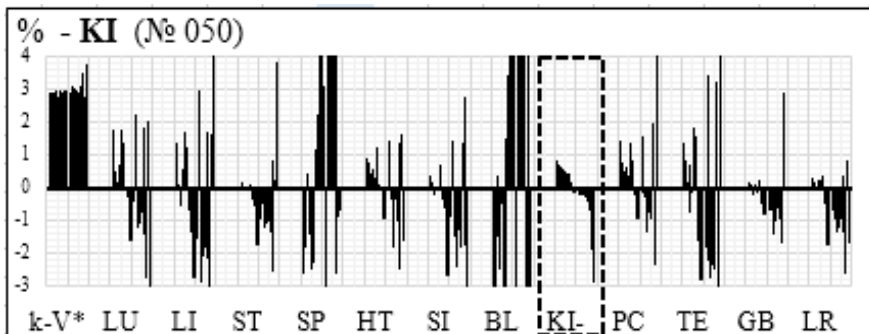
**System identification of channels under conditions  $\pm KI$ , fig. 4.2.8**



Identification of  
systemic dependency  
 **$\pm KI$  is not possible**

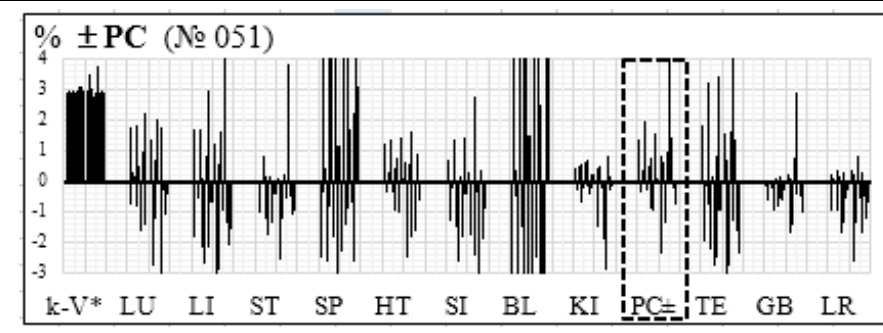


Identification of  
systemic dependency  
 **$+ KI$**

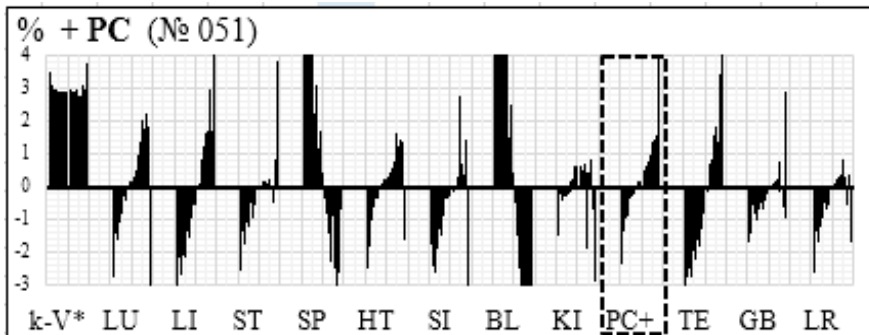


Identification of  
systemic dependency  
 **$- KI$**

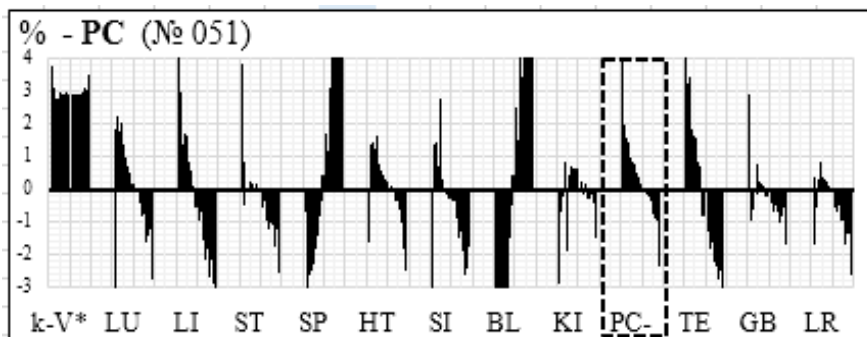
**System identification of channels under conditions  $\pm PC$ , fig. 4.2.9**



Identification of  
systemic dependency  
 **$\pm PC$  is not possible**

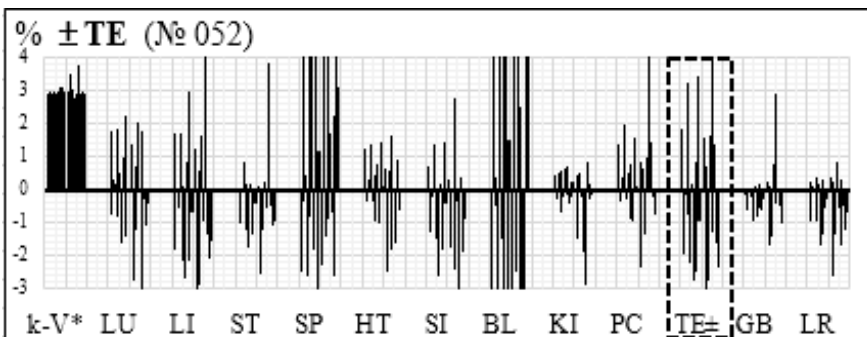


Identification of  
systemic dependency  
 **$+ PC$**

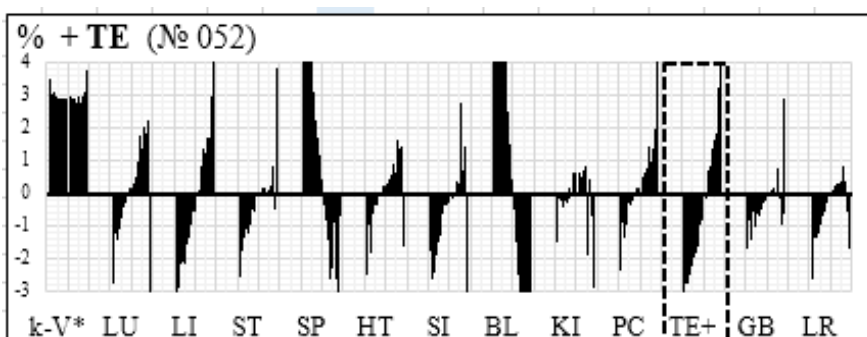


Identification of  
systemic dependency  
—PC

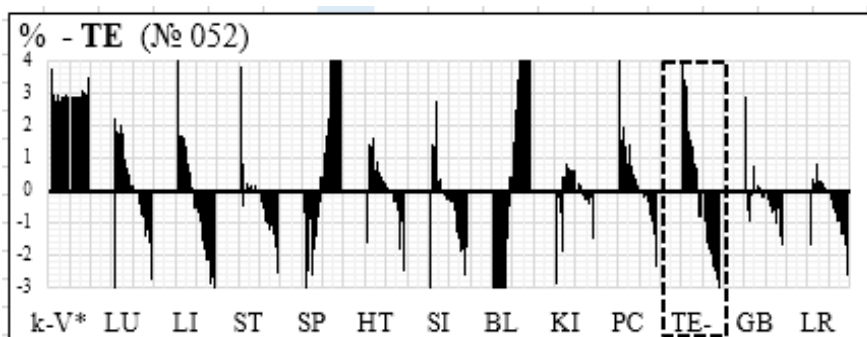
**System identification of channels under conditions  $\pm$  TE, fig. 4.2.10**



Identification of  
systemic dependency  $\pm$   
TE is not possible

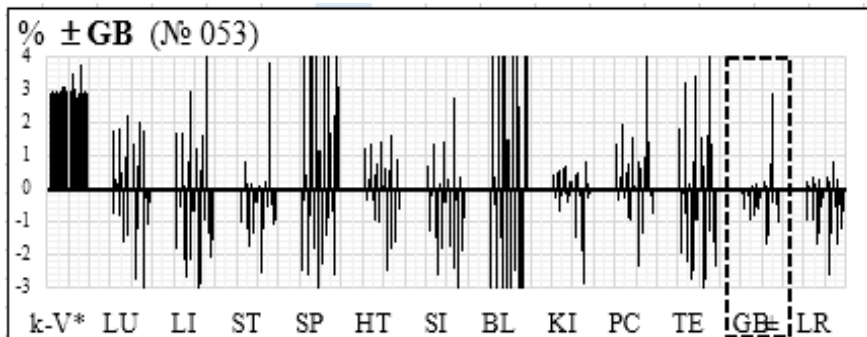


Identification of  
systemic dependency  
+TE

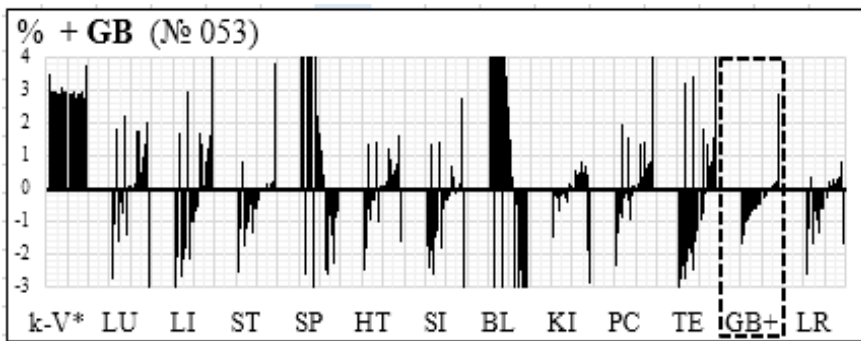


Identification of  
systemic dependency  
-TE

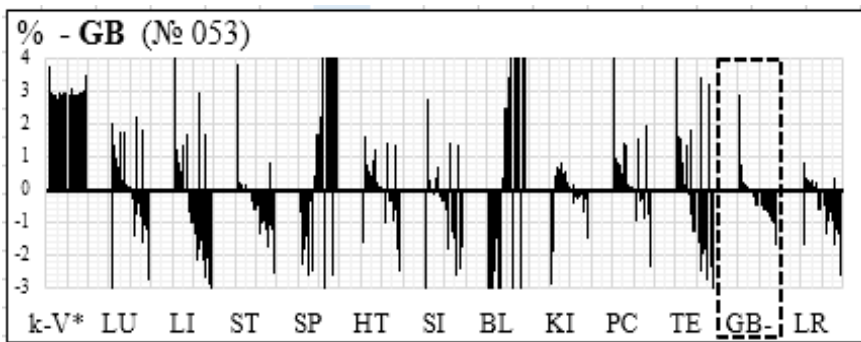
**System identification of channels under conditions  $\pm$  GB, fig. 4.2.11**



Identification of  
systemic dependency  
± GB is not possible

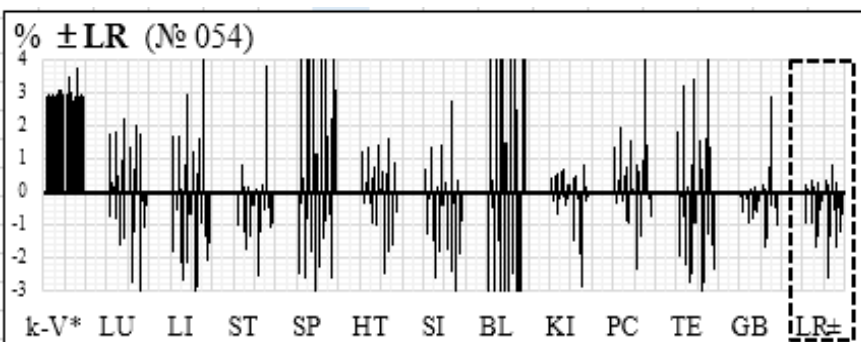


Identification of  
systemic dependency  
**+GB**

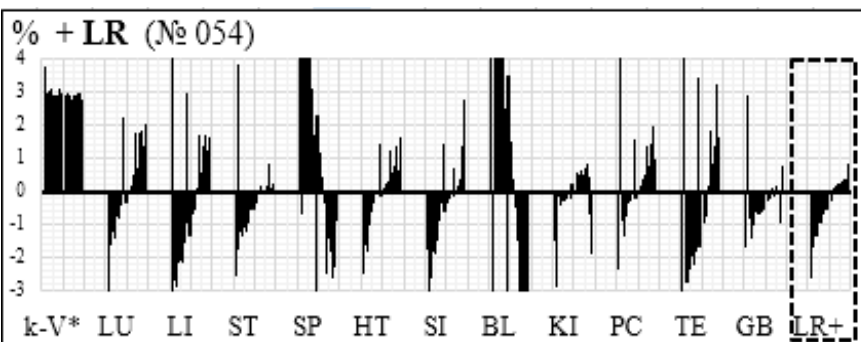


Identification of  
systemic dependency  
**-GB**

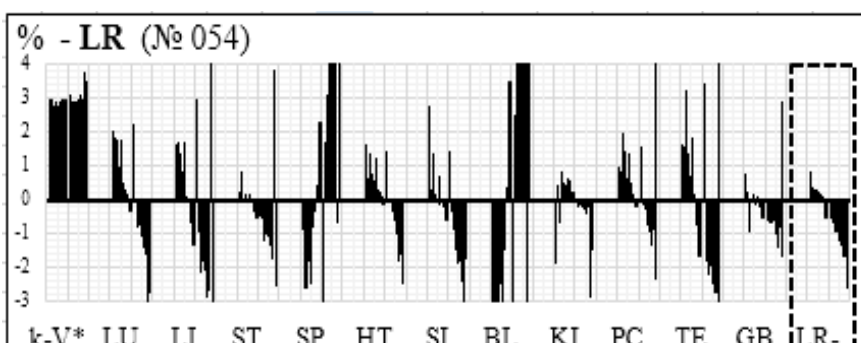
#### System identification of channels under conditions $\pm$ LR, fig. 4.2.12



Identification of  
systemic dependency  $\pm$   
**LR is not possible**



Identification of  
systemic dependency  
**+LR**



Identification of  
systemic dependency  
**-LR**

## Findings.

The methodology for identifying traditional "acupuncture channels" (functional systems) has no analogues in the world. For the first time in the 5000-year history of acupuncture, their biophysical reality has been proven. The above materials translate the hypothetical Chzhen-tszyu therapy into biophysical based evidence-based medicine (functional vegetation)...



### FOR THE ATTENTION OF THE SPECIALISTS (SCHOOL OF PROF. V.G.MAKATS) THE INFORMATION WHICH HAS A DIRECT RELATIONSHIP TO THE PREVIOUSLY UNKNOWN "FUNCTIONAL-VEGETATIVE SYSTEM" ((D-8.6-(M)-8.7-D)) ...

1/1-w	=ЕСЛИ(АК20>11,25;АК20-11,25;ЕСЛИ(АК20<11,01;АК20-11,01;"0"))
1/1-m	=ЕСЛИ(АК20>10,93;АК20-10,93;ЕСЛИ(АК20<10,69;АК20-10,69;"0"))
1/2-w	=ЕСЛИ(АТ20>7,19;АТ20-7,19;ЕСЛИ(АТ20<7,09;АТ20-7,09;"0"))
1/2-m	=ЕСЛИ(АТ20>6,94;АТ20-6,94;ЕСЛИ(АТ20<6,88;АТ20-6,88;"0"))
1/3-w	=ЕСЛИ(АР20>8,25;АР20-8,25;ЕСЛИ(АР20<8,13;АР20-8,13;"0"))
1/3-m	=ЕСЛИ(АР20>8,11;АР20-8,11;ЕСЛИ(АР20<8,03;АР20-8,03;"0"))
2/1-w	=ЕСЛИ(АЈ20>10,95;АЈ20-10,95;ЕСЛИ(АЈ20<10,77;АЈ20-10,77;"0"))
2/1-m	=ЕСЛИ(АЈ20>10,46;АЈ20-10,46;ЕСЛИ(АЈ20<10,16;АЈ20-10,16;"0"))
2/2-w	=ЕСЛИ(АУ20>7,91;АУ20-7,92;ЕСЛИ(АУ20<7,79;АУ20-7,79;"0"))
2/2-m	=ЕСЛИ(АУ20>7,49;АУ20-7,49;ЕСЛИ(АУ20<7,43;АУ20-7,43;"0"))
2/3-w	=ЕСЛИ(АЅ20>8,11;АЅ20-8,11;ЕСЛИ(АЅ20<7,99;АЅ20-7,99;"0"))
2/3-m	=ЕСЛИ(АЅ20>8,79;АЅ20-8,79;ЕСЛИ(АЅ20<7,71;АЅ20-7,71;"0"))
3/1-w	=ЕСЛИ(АН20>8,68;АН20-8,68;ЕСЛИ(АН20<8,56;АН20-8,56;"0"))
3/1-m	=ЕСЛИ(АН20>9,32;АН20-9,32;ЕСЛИ(АН20<9,22;АН20-9,22;"0"))
3/2-w	=ЕСЛИ(АМ20>7,23;АМ20-7,23;ЕСЛИ(АМ20<7,13;АМ20-7,13;"0"))
3/2-m	=ЕСЛИ(АМ20>7,03;АМ20-7,03;ЕСЛИ(АМ20<6,93;АМ20-6,93;"0"))
3/3-w	=ЕСЛИ(АЛ20>7,78;АЛ20-7,78;ЕСЛИ(АЛ20<7,64;АЛ20-7,64;"0"))
3/3-m	=ЕСЛИ(АЛ20>7,98;АЛ20-7,98;ЕСЛИ(АЛ20<7,8;АЛ20-7,8;"0"))
4/1-w	=ЕСЛИ(АО20>8,2;АО20-8,2;ЕСЛИ(АО20<8,08;АО20-8,08;"0"))
4/1-m	=ЕСЛИ(АО20>8,36;АО20-8,36;ЕСЛИ(АО20<8,26;АО20-8,26;"0"))
4/2-w	=ЕСЛИ(АР20>7,39;АР20-7,39;ЕСЛИ(АР20<7,29;АР20-7,29;"0"))
4/2-m	=ЕСЛИ(АР20>7,39;АР20-7,39;ЕСЛИ(АР20<7,33;АР20-7,33;"0"))
4/3-w	=ЕСЛИ(AQ20>7,83;AQ20-7,83;ЕСЛИ(AQ20<7,73;AQ20-7,73;"0"))
4/3-m	=ЕСЛИ(AQ20>7,93;AQ20-7,93;ЕСЛИ(AQ20<7,85;AQ20-7,85;"0"))

## REFERENCES

3. Макац В., Макац Є. Невідома китайська голкотерапія (реальність, помилки, проблеми) Том I // Україна, Вінниця: видавництво "Наукова ініціатива", редакція Нілан-ЛТД, 2016, 276 с. ISBN 978-966-2932-80-5

Makats V., Makats E. Unknown Chinese acupuncture (reality, errors, problems). v Vol. i // Ukraine, Vinnytsia: "Naukova initsiatyva", editorial office "Nilan LTD", 2016, 276 P. ISBN 978-966-2932-80-5

4. Макац В., Макац Є. Невідома китайська голкотерапія (біофізичний атлас системної залежності) Том II // Україна, Вінниця: видавництво "Наукова ініціатива", редакція Нілан-ЛТД, 2016, 204 с. ISBN 978-966-2932-80-5

Makats V., Makats E. Unknown Chinese acupuncture (biophysical atlas of systemic dependency). Vol. II // Ukraine, Vinnytsia: "Naukova initsiatyva", editorial office "Nilan LTD", 2016, 204P. ISBN 978-966-2932-80-5

5. Макац В., Нагайчук В., Макац Є. Невідома китайська голкотерапія (проблеми функціональної вегетології) Том III // Україна, Вінниця: видавництво "Наукова ініціатива", редакція Нілан-ЛТД, 2017, 204С. ISBN 978-966-2932-80-5

*Makats V., Nahaychuk V., Makats E. Unknown Chinese acupuncture (problems of functional vegetables). Vol. III // Ukraine, Vinnytsia: "Naukova initsiatyva", editorial office "Nilan LTD", 2017, 204P. ISBN 978-966-2932-80-5*

6. Макац В., Нагайчук В., Макац Є., Єрмішев О. Невідома китайська голкотерапія (проблеми вегетативного патогенезу) Том IV // Україна, Вінниця: видавництво "Наукова ініціатива", редакція Нілан-ЛТД, 2017, 286С. ISBN 978-966-2932-80-5

*Makats V., Nahaychuk V., Makats E., Yermyshev O. Unknown Chinese acupuncture (problems of vegetative pathogenesis). Vol. IV // Vinnytsia: "Naukova initsiatyva", editorial office "Nilan LTD", 2017, 286P. ISBN 978-966-2932-80-5*

5. Макац В., Макац Є., Макац Д., Макац Д. Основи функціональної вегетології (Невідома китайська голкотерапія). Том V. Вінниця Видавництво "Наукова ініціатива" Редакція Нілан ЛТД, 2018, - 152 С., ISBN 978-617-7706-69-3

*Makats V., Makats E., Makats D., Makats D. Bases of functional vegetology (unknown chinese acupuncture). Vol.V - Vinnytsia: "Naukova Initsiatyva", Editorial office "Nilan Ltd.", 2018. - 152 P, ISBN 978-617-7706-69-3*

6. В.Г.Макац, М.В. Курик, В.Г. Петрук, В.І.Нагайчук, О.В. Єрмішев Основи функціонально-екологічної експертизи (невідома вегетологія). Том VI.– Вінниця: "Наукова ініціатива", Редакція Нілан-ЛТД, 2018, – 128 С. ISBN 978-617-7706-69-3

*V.G. Makats, M.V. Kurik, V.G. Petruk, V.I. Nahaychuk, A.V. Yermyshev M94 Bases of functional-ecological examination (unknown vegetology). Vol.VI – Vinnytsia: "Naukova Initsiatyva", Editorial office "Nilan Ltd.", 2018. – 128 P. ISBN 978-617-7706-69-3*

7. Макац В., Макац Д., Макац Є., Макац Д. Функціональна вегетологія (біофізичний алас Чжень-цзю терапії) Том VII/ – Вінниця: "Наукова ініціатива", Редакція Нілан-ЛТД, 2019, – 278 С. ISBN 978-617-949-208-1

*Makats V., Makats E., Makats D., Makats D. Functional vegetology (biophysical atlas Zhen-tzyu therapy). Volume VII/ – Vinnytsia: "Naukova Initsiatyva", Editorial office "Nilan Ltd.", 2019. – 278 P. ISBN 978-617-949-208-1*

8. Макац В.Г., Макац Є.Ф. Вегетативна Чжень-цзю терапія (проблеми функціональної вегетології). – Україна, Видавництво "Наукова ініціатива", Нілан-ЛТД, 2021, 220 С. ISBN 978-966-949-550-1

9. Макац Д.Д., Макац О.Д. Біофізика функціонально-вегетативного патогенезу (під редакцією експерта вищого рівня НАН України, д.м.н, професора В.Г.Макац). – Україна, Вінниця, "Наукова ініціатива", видавництво Тов. ТВОРИ, 2021, 138С. ISBN 978-966-949-607-2

10. Макац В.Г. Невідома Чжень-цзю терапія (проблеми функціональної вегетології). – Україна, Видавництво "Наукова ініціатива", Нілан-ЛТД, 2021, 340С. ISBN 978-966-949-725-3

*Makats V.G. Unknown Chinese acupuncture (problems of functional vegetology). – Ukraine, Publishing House "Scientific Initiative", Nilan-LTD, 2021, 340C. ISBN 978-966-949-725-3*

